

УДК 66.067.5+66.061.5
© 1997

РАЗРАБОТКА И СОВЕРШЕНСТВОВАНИЕ ФИЛЬТРАЦИОННОГО И ЭКСТРАКЦИОННОГО ОБОРУДОВАНИЯ ЗАВОДА РТ-1

*И.М. Балакин, А.Н. Роцин, С.Л. Никулин, А.Г. Тюльпа, Е.И. Рылова, В.И. Девяткин
Россия, Екатеринбург, АООТ "СВЕРДНИИХИММАШ"*

*Е.Г. Дзекун, В.П. Уфимцев, Г.И. Перминов, П.П. Шевцев, И.П. Сахарова
Россия, Озерск, ПО "Маяк"*

Приведены конструкции и описана работа фильтрационного и экстракционного оборудования, разработанного Свердловским заводом химического машиностроения, для переработки облученного ядерного топлива.

Растворы облученного ядерного топлива (ОЯТ) представляют собой малоконцентрированные суспензии. Твердая фаза этих суспензий состоит из высокодисперсных и коллоидных взвесей, которые при контакте с органическим экстрагентом образуют межфазные пленки, нарушающие нормальную работу экстракторов. В связи с этим осветление растворов является непременным условием стабильной работы экстракционных переделов на заводах регенерации ОЯТ.

При создании оборудования для завода РТ-1 для этой цели было решено использовать фильтры. Отсутствие движущихся частей, компактность, простота конструкции, легкость дистанционного обслуживания выгодно отличают фильтры от других типов осветлительных аппаратов.

В число задач, подлежащих решению при создании фильтра, входили разработка его оптимальной конструкции в соответствии с требованиями радиохимического производства, выбор фильтровальной перегородки, обеспечивающей необходимые степень очистки растворов от взвесей и скорость фильтрования, определение режимов работы фильтра.

На заводе РТ-1 для осветления растворов ОЯТ твэлов ВВЭР-440 первым был применен пат-

ронный фильтр с дистанционным подсоединением трубопроводов к технологическим коммуникациям, рис. 1. Фильтр состоит из цилиндрического корпуса 2 диаметром 500 мм с эллиптическим днищем 1 и крышкой 5; к крышке крепится трубная решетка 4 с семнадцатью металлокерамическими фильтрующими патронами 3. Площадь поверхности фильтрования равняется 2 м², вместимость корпуса фильтра - 300 л. Фильтрование осуществляется с предварительной обработкой фильтруемого раствора флокулянтам и с применением вспомогательного фильтрующего материала - перлита.

Цикл работы фильтра включает намывку слоя перлита на патроны, фильтрование под давлением до 0,3 МПа, отмывку осадка от урана, распульговку осадка, выгрузку пульпы и регенерацию патронов методом гидравлического удара [1]. Фильтр обеспечивал требуемую степень очистки и скорость фильтрования растворов. Недостаток этого фильтра состоял в необходимости замены всего аппарата при разрушении хотя бы одного фильтрующего патрона. Фильтры с дистанционным подсоединением трубопроводов были заменены более совершенными аппаратами - патронными фильтрами ядернобезопасной геометрии, рис. 2.

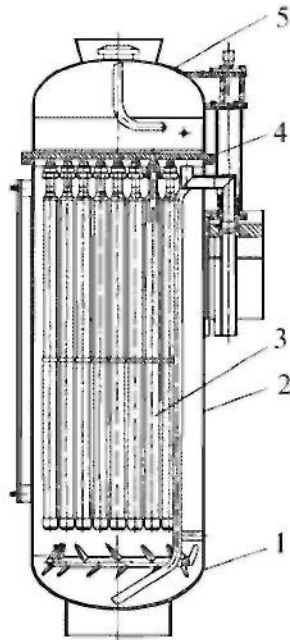


Рис. 1. Патронный фильтр с дистанционным подсоединением трубопроводов (1 - днище, 2 - корпус, 3 - фильтрующий патрон, 4 - трубная решетка, 5 - крышка)

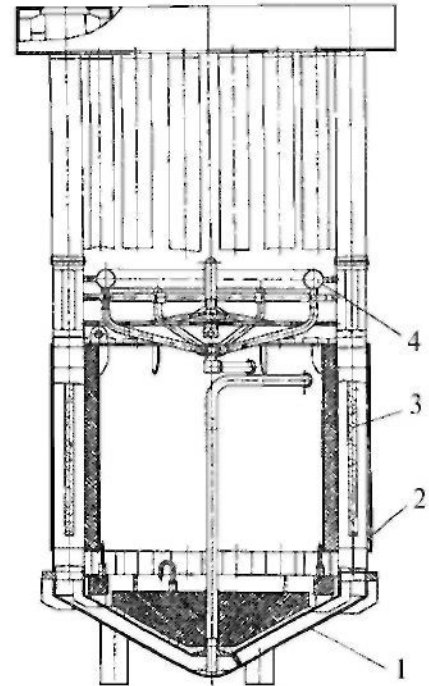


Рис. 2. Патронный фильтр (1 - днище, 2 - корпус, 3 - фильтрующий патрон, 4 - коллектор)

Фильтр представляет собой восемнадцать цилиндрических корпусов 2 диаметром 140 мм, расположенных по окружности и соединенных в нижней части коническим днищем 1, а в верхней - коллектором 4 сбора фильтрата, подачи и сдувки сжатого воздуха при регенерации. В каждом корпусе по центру установлено по одному фильтрующему металлокерамическому патрону 3 длиной 1000 мм и диаметром 40 мм. Общая площадь поверхности фильтрования равняется 2м². Цикл работы фильтра состоит из тех же операций, что и фильтра с дистанционным подсоединением трубопроводов. В случае выхода из строя фильтрующего патрона производится отключение соответствующего корпуса без остановки аппарата и дистанционная замена патрона.

Использование разработанных патронных фильтров периодического действия позволило достичь высоких технологических показателей. Однако увеличение производительности заводов по переработке ОЯТ, оснащенных фильтрами периодического действия, ведет к существенному увеличению производственных площадей фильтровальных отделений, капитальных затрат и объемов высокоактивных сбросных пульп, подлежащих хранению. Проблему можно решить применением фильтра непрерывного действия. Такой фильтр позволяет значительно уменьшить капитальные затраты, количество емкостного оборудования и запорной арматуры, а также резко увеличить выход продукта с единицы рабочей поверхности аппарата и автоматизировать управление процессом.

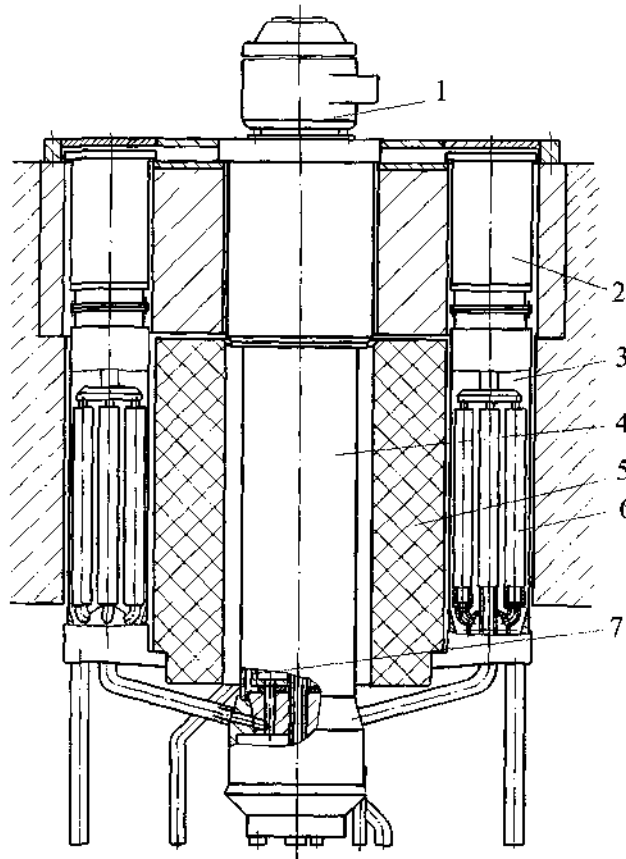


Рис. 3. Патронный фильтр непрерывного действия
(1 - привод, 2 - пробка, 3 - фильтрующая камера, 4 - центральный ствол, 5 - нейтронопоглощающая вставка, 6 - фильтрующий патрон, 7 - распределительное устройство)

С целью реализации преимуществ, присущих непрерывнодействующим фильтрам, а также с целью уменьшения объемов радиоактивных отходов, подлежащих хранению, был разработан ядернобезопасный патронный фильтр непрерывного действия [2], обеспечивающий осветление исходных растворов ОЯТ без применения перлита.

Принципиальное устройство фильтра и его размещение в перекрытии каньона показано на рис. 3. Фильтр включает следующие основные узлы: фильтрующие камеры 3, центральный ствол 4 с расположенным в нем распределительным устройством 7, привод 1 с регулируемой частотой вращения. Вокруг цен-

трального ствола фильтра расположено двенадцать фильтрующих камер внутренним диаметром 140 мм с пробками биологической защиты 2. Между центральным стволом и фильтрующими камерами располагается нейтронопоглощающая вставка 5. В каждой камере установлено по шесть фильтрующих металло-керамических патронов 6, объединенных полостью для приема фильтрата.

В каждой камере выполняются следующие операции: фильтрование, промывка и сушка осадка на патронах, регенерация патронов и слив суспензии распульпованного осадка (репульпата). Смена операций осуществляется распределительным устройством,

вращающимся в центральном стволе. В качестве материала пар трения распределителя используется силицированный графит; для передачи вращения на вал распределителя разработан специальный герметичный редуктор [3].

Фильтрация осуществляется под действием вакуумметрического давления. В период фильтрования камера заполнена исходной суспензией, по окончании фильтрования остатки непрофильтрованной суспензии сливаются из камеры, и в нее подается сначала промывной раствор, а затем, после слива остатков промывного раствора, распульповочная жидкость. Сливаемые остатки исходной суспензии и промывного раствора возвращаются в емкость с исходной суспензией.

Регенерация патронов производится с помощью импульсной подачи сжатого воздуха внутрь патронов в направлении, обратном фильтрованию. При периодической работе камер фильтр в целом работает непрерывно при постоянной скорости фильтрования. Общая площадь поверхности патронов составляет 4,2 м², площадь патронов в зоне фильтрования - 2,5 м², вместимость фильтрующей камеры - 6,5 л, частота вращения вала распределителя - 0,2-2,0 об/мин.

Конструкция фильтра позволяет производить дистанционную раздельную замену фильтровальных камер и распределителя.

Во всех приведенных выше фильтрах для изготовления патронов используются металло-керамические фильтрующие элементы, изготовленные из порошков титана или коррозионностойкой стали; длина элементов от 80 до 500 мм, наружный диаметр 40мм, толщина стенки 2-3 мм. Многолетняя эксплуатация патронных фильтров показала, что срок службы фильтрующих патронов составляет в среднем 1,3 года. Внезапное механическое разрушение их под действием агрессивной среды сопровождается нежелательным попаданием неосветленных растворов на последующие технологические пределы. Этому недостатка не имеют аппараты с несвязанной фильтрующей перегородкой - насыпные фильтры.

Для осветления растворов ОЯТ реакторов ВВЭР-440 с высокой глубиной выгорания и

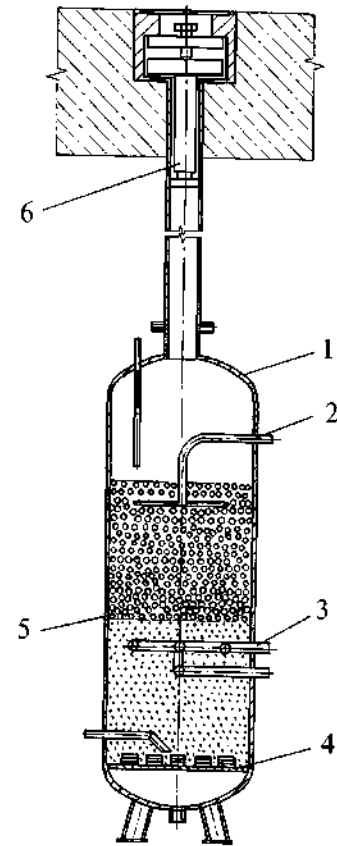


Рис. 4. Насыпной двухслойный фильтр
 1 - корпус,
 2 - верхнее распределительное устройство,
 3 - среднее распределительное устройство,
 4 - дренажно-распределительное устройство,
 5 - фильтрующая загрузка,
 6 - устройство для загрузки фильтрующих материалов.

жидких высокоактивных отходов перед экстракционной переработкой были разработаны и эксплуатируются насыпные двухслойные фильтры повышенной грязеемкости [4].

Насыпной фильтр, рис. 4, представляет собой цилиндрический сосуд с эллиптическим дном и крышкой. Корпус фильтра 1 оборудован верхним 2 и средним 3 распределительными устройствами, дренажно-распределительным устройством 4 и технологически-

ми штуцерами. В корпусе фильтра находится двухслойная фильтрующая загрузка 5 из электрокорунда 91АМ50 и металлосферического коррозионностойкого порошка (МСП). К крышке фильтра подсоединяется устройство 6 для загрузки фильтрующих материалов.

Верхнее распределительное устройство 2 предназначено для подачи исходной суспензии в слой фильтрующего материала и представляет собой центральную трубу, к нижней части которой подсоединены три перфорированных трубки с отверстиями.

Средний распределитель 3 предназначен для подачи фильтрата в корпус фильтра при периодических промывках верхней части слоя загрузки в процессе фильтрования и для подачи воздуха и промывного раствора при регенерации загрузки. Конструкция распределителя позволяет проводить промывку его внутренней полости при попадании в нее загрязнений.

На корпусе фильтра установлена дистанционно перемещаемая по его высоте камера дозиметрического контроля, предназначенная для измерения активности осадка. По значениям активности оценивается распределение осадков по высоте слоя фильтрующей загрузки, а также контролируется высота слоя загрузки и эффективность ее регенерации.

Работа фильтра циклическая и включает в себя проведение следующих операций:

- фильтрование с периодическими промывками верхней части слоя фильтрующей загрузки без выноса загрязнений из корпуса фильтра;
- промывку осадка и фильтрующей загрузки от ценных компонентов;
- водовоздушную регенерацию фильтрующей загрузки [5];
- гидравлическую выгрузку фильтрующих материалов (при необходимости).

Фильтр аналогичной конструкции, но с однослойной загрузкой из МСП, используется для очистки оборотного экстрагента на установке фракционирования жидких высокоактивных отходов.

Для осветления ОЯТ алюминийсодержащих твэлов разработан кольцевой насыпной

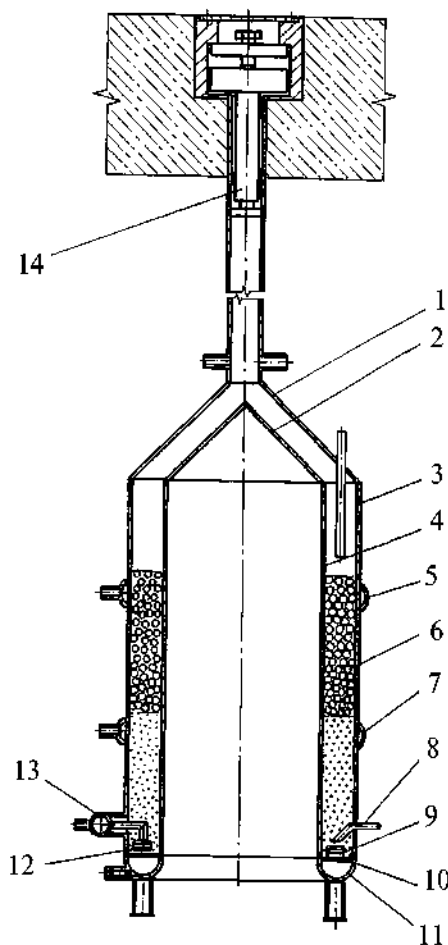


Рис. 5. Кольцевой насыпной двухслойный фильтр

1,2 - днище; 3,4 - обечайка; 5 - верхнее распределительное устройство; 6 - фильтрующая загрузка; 7 - среднее распределительное устройство; 8 - патрубок; 9 - дренажный элемент; 10 - решетка; 11 - кольцевое днище; 12 - распределительный элемент; 13 - коллектор; 14 - устройство для загрузки фильтрующих материалов.

двухслойный фильтр, рис. 5.

Кольцевой насыпной фильтр представляет собой вертикальный цилиндрический аппарат с кольцевым рабочим пространством. В верхней части кольцевое пространство ограничено отбортованными коническими дни-

щами 1 и 2, а в средней - обечайками 3 и 4.

Нижняя часть аппарата, образованная решеткой 10 и кольцевым днищем 11, выполняет роль фильтратной камеры. На решетке 10 расположены дренажные элементы 9 щелевого типа.

На внешней обечайке корпуса фильтра расположены верхнее распределительное устройство 5 для подачи осветляемой суспензии в слой фильтрующей загрузки и среднее распределительное устройство 7 для промывки верхней части слоя загрузки.

Для гидравлической выгрузки фильтрующих материалов в корпусе фильтра установлен патрубок 8, а на диаметрально противоположной ему стороне расположен коллектор 13 с тремя распределительными элементами 12, аналогичными дренажным элементам 9.

В корпусе фильтра находится двухслойная фильтрующая загрузка 6. К крышке фильтра подсоединяется устройство 14 для загрузки фильтрующих материалов.

Работа фильтра циклическая, аналогична работе фильтра, представленного на рис. 4.

Результаты эксплуатации насыпных фильтров показали их надежность и эффективность. Фильтры позволяют осветлять суспензии с массовой концентрацией твердой фазы до 1,5 г/л, при этом грязеемкость фильтров составляет 60-80 кг/м².

Внедрение насыпных фильтров повышенной грязеемкости в технологию осветления суспензий радиохимических производств позволило улучшить условия работы обслуживающего персонала и сократить объемы высокоактивных отходов, подлежащих долгосрочному контролируемому хранению.

Важную роль в создании и совершенствовании конструкций фильтров для осветления высокоактивных растворов ОЯТ сыграла разработка суспензии-имитатора, имеющей фильтрационные свойства, практически одинаковые с реальным раствором [6]. Использование суспензии-имитатора позволило не только создать безопасные условия проведения экспериментов, но и существенно сократить их стоимость.

Экстракционная технология выделения урана и других элементов на заводе РТ-1 первоначально была оснащена пульсационными смесительно-отстойными экстракторами, в которых перемешивание и транспортировка фаз осуществлялись за счет импульсной подачи в них сжатого воздуха и которые обеспечивали проведение технологического процесса с заданными параметрами. Принципиальное устройство такого экстрактора показано на рис. 6.

Главным фактором при выборе пульсационных экстракторов для оснащения экстракци-

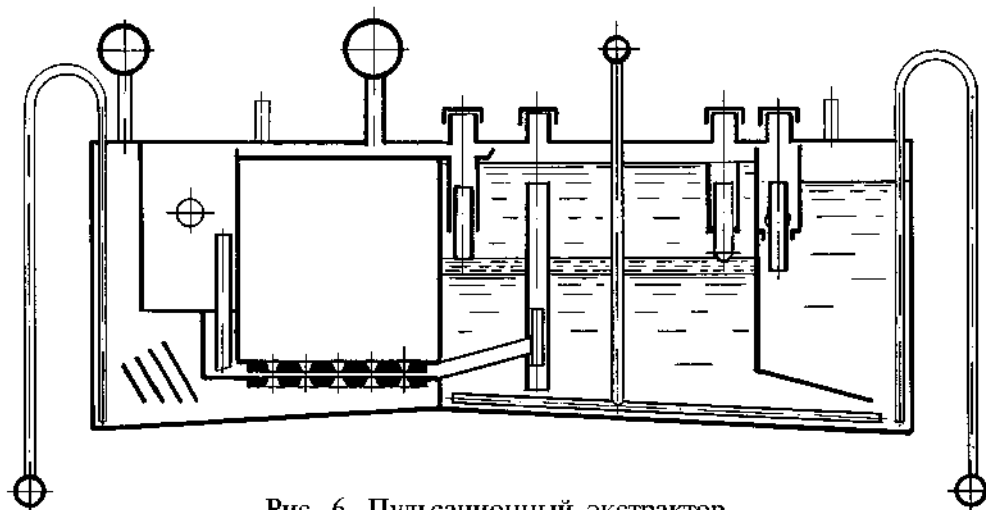


Рис. 6. Пульсационный экстрактор

онных отделений послужило отсутствие у них движущихся частей в рабочей зоне, что должно было за счет повышения надежности работы компенсировать их недостатки: образование тонкой, трудно расслаиваемой эмульсии при диспергировании фаз в соплах смесительных камер, сложность управления гидродинамическими режимами работы аппаратов, большой расход дополнительно поступающего на очистку воздуха.

В процессе эксплуатации обнаружился еще один существенный недостаток этих экстракторов - вызываемые давлением пульсирующего воздуха значительные деформации и напряжения в плоских стенках аппаратов.

С целью усовершенствования экстракционной технологии и ее аппаратного оформления был проведен большой объем научных исследований по изучению процессов диспергирования и расслаивания водной и органической фаз и ряда других вопросов, касающихся гидродинамики двухфазных экстракционных систем, а также разрабатывались и испытывались различные типы экстракторов: пленочные аппараты, пульсационные и вибрационные колонны, смесители-отстойники с пропеллерными или турбинными мешалками, центробежные экстракторы.

Абсолютное большинство разработок относилось к центробежным экстракторам, обладающим рядом неоспоримых преимуществ перед всеми другими типами экстракторов: минимальная рабочая вместимость и, соответственно, время контактирования фаз в аппарате, небольшой объем циркулирующего в схеме органического экстрагента, кратчайшее время установления стационарного режима работы многоступенчатого экстракционного каскада, высокая удельная (на единицу массы аппарата) производительность и эффективность.

Были разработаны, изготовлены и испытаны центробежные экстракторы с диаметром ротора от 75 до 450 мм производительностью, соответственно, от 0,1 до 20,0 м³/ч.

На рис. 7 приведено устройство экстрактора ЦЭН-150 с диаметром ротора 150 мм, а на рис. 8 - вариант исполнения этого экстрактора для размещения в каньоне.

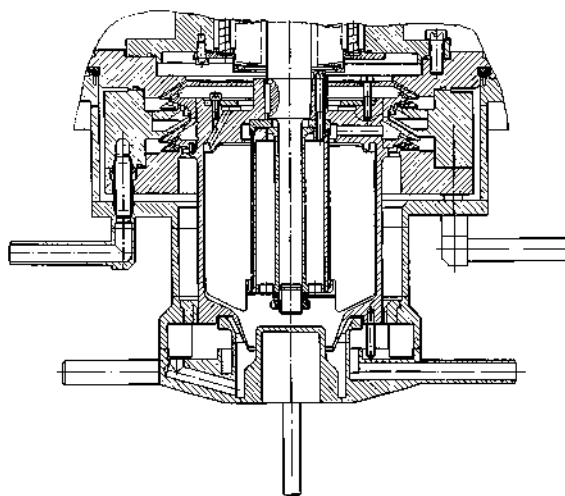


Рис. 7. Центробежный экстрактор ЦЭН-150

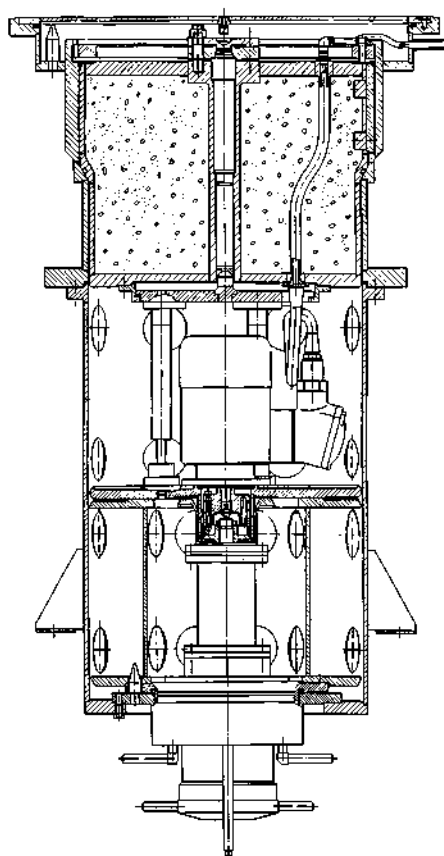


Рис. 8. Экстрактор ЦЭН-150. Исполнение для размещения в каньоне.

Многоступенчатые аппараты на базе центробежных экстракторов с диаметром ротора 75 и 150 мм были успешно испытаны в производственных условиях. Достаточно полное разделение фаз (взаимный унос не более 0,02%) достигалось при времени пребывания фаз в роторе примерно 5 с, а равновесные концентрации целевых компонентов в фазах достигались при времени их контакта в смесительной камере экстракционной ступени менее 1 с. Аппараты были выполнены в соответствии с условиями радиохимических производств и отвечали требованиям ядерной безопасности.

Несмотря на положительные результаты, полученные при разработке центробежных экстракторов, последние не были использованы для оснащения завода РТ-1 по ряду объективных причин.

Одной из них явилось отсутствие соответствующих по быстродействию приборов и элементов систем контроля и управления. Поскольку центробежные экстракторы весьма чувствительны даже к незначительным изменениям входных параметров, при их работе требуется либо автоматизация процесса, либо постоянный и непрерывный контроль со стороны высококвалифицированного обслуживающего персонала.

Кроме того, для успешной эксплуатации центробежных экстракторов необходима была самостоятельная ремонтная база, оснащенная достаточно сложными специальными устройствами и приспособлениями, включая станки для балансировки роторов.

В результате взамен пульсационных экстракторов для завода РТ-1 были разработаны более простые, надежные и эффективные смесительно-отстойные экстракторы с механическим перемешиванием и транспортировкой фаз типа КРАБ, имеющие оригинальную конст-

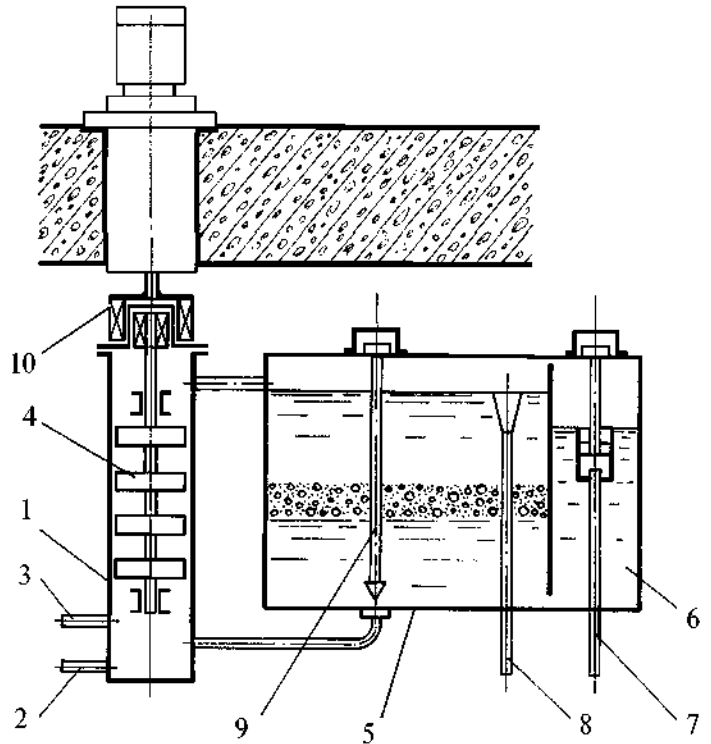


Рис. 9. Экстрактор с механическим перемешиванием фаз

1 - смесительная камера; 2,3 - штуцеры ввода водной и органической фаз соответственно; 4 - смесительно-транспортирующее устройство; 5 - отстойная камера; 6 - гидрозатвор; 7,8 - штуцеры вывода водной и органической фаз соответственно; 9 - устройство для рециркуляции водной фазы; 10 - магнитная муфта.

рукцию смесительной камеры и смесительно-транспортирующего устройства [7].

Поскольку экстракторы предназначены для работы с делящимися материалами, они выполнены с соблюдением требований ядерной безопасности и приспособлены для дистанционного обслуживания и размещения в каньонах. Ядерная безопасность экстракторов обеспечивается ограничением их размеров и наличием между ступенями нейтронопоглощающих вставок.

Принципиальное устройство экстрактора показано на рис. 9.

Каждая экстракционная ступень, из которых komponуются многоступенчатые противоточные экстракционные аппараты, состоит из цилиндрической смесительной камеры, в которой расположено смесительно-транспортующее устройство, и вертикальной плоской отстойной камеры, оборудованной гидрозатвором, штуцерами для отдельной выдачи водной и органической фаз, а также устройством для рециркуляции одной из фаз внутри ступени.

Вал смесительно-транспортующего устройства опирается на подшипники скольжения, которые выполнены из силицированного графита и смазываются рабочими растворами. Привод вала осуществляется от электродвигателя через герметичную магнитную муфту и промежуточный вал, проходящий через перекрытие каньона.

Смесительно-транспортующее устройство, выполненное в виде нескольких последовательно установленных на валу турбинок специальной конструкции, обеспечивает при частоте вращения вала (400 ± 100) об/мин необходимый для транспортировки фаз напор и достаточно развитую для эффективного массообмена поверхность контакта фаз без передробления дисперсной фазы, что существенно сокращает время последующего разделения эмульсии в отстойной камере и обуславливает высокую удельную производительность аппарата. Повышение производительности и эффективности работы экстракторов достигается также за счет оригинальной технологической обвязки ступеней [8].

Применение экстракторов с механическим перемешиванием фаз позволило без увеличения производственных площадей примерно вдвое повысить производительность экстракционных переделов и исключить использование пульсационного воздуха.

Экстракторы успешно эксплуатируются на заводе РТ-1 с 1988 года, они надежны в работе и обеспечивают все заданные технологические параметры [9].

Продолжающиеся исследования и опыт длительной эксплуатации экстракторов по-

зволили провести модернизацию их смесительно-транспортующих устройств с целью дальнейшего повышения надежности работы и улучшения условий дезактивации при проведении ремонтных работ. Разработаны и разрабатываются смесительно-отстойные экстракторы с механическим перемешиванием фаз типа КРАБ различных типоразмеров для оснащения других экстракционных отделений завода.

С целью улучшения условий труда обслуживающего и ремонтного персонала разработано специальное оборудование (контейнеры, ремонтный бокс, приспособления) для дистанционного демонтажа, дезактивации и разборки подлежащих ремонту съемных узлов экстракторов.

Наряду с постоянным совершенствованием работающего оборудования непрерывно продолжаются поисковые работы по созданию новых, высокоэффективных экстракторов. Одной из таких работ является разработка принципиально нового экстрактора с насыпным слоем зернистого материала ПО-РЭКС [10-13], выполненная на основе предварительных исследований сотрудников ЦЗЛ ПО "Маяк".

Отличительной особенностью такого экстрактора является то, что массопередача между водной и органической фазами осуществляется при их движении тонкими струями и пленками через слой зернистого материала. При этом необходимая поверхность контакта фаз и высокая эффективность массообмена обеспечиваются за счет развитой удельной поверхности зернистого материала без диспергирования фаз, что обуславливает быстрое последующее их разделение в отстойной камере и, следовательно, высокую удельную производительность аппарата.

Слой зернистого материала может находиться в состоянии псевдооживления, что препятствует каналообразованию и делает экстрактор нечувствительным к образующейся в процессе экстракции третьей фазе и наличию осадков.

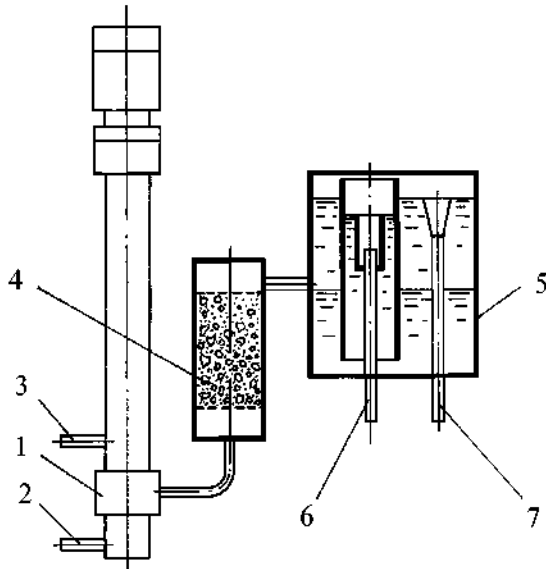


Рис. 10. Экстрактор ПОРЭКС
1 - нагнетательная камера; 2,3 - штуцеры ввода водной и органической фаз соответственно; 4 - смешительная камера (реактор) с зернистым материалом; 5 - отстойная камера; 6,7 - штуцеры вывода водной и органической фаз соответственно.

Устройство экстрактора с насыпным слоем зернистого материала схематически показано на рис.10.

Он представляет собой экстракционную ступень, включающую в себя нагнетательную камеру со штуцерами ввода водной и органической фаз, в которой установлено устройство для транспортировки водной и органической фаз с приводом, смешительную камеру (реактор) с помещенным в нее зернистым материалом и отстойную камеру, оборудованную гидрозатвором и штуцерами для вывода водной и органической фаз.

В табл.1 приведены характеристики некоторых материалов, которые могут быть использованы в экстракторах в качестве насыпного слоя, а в табл.2 - гидравлическое сопротивление слоя зернистого материала высотой 250 мм при различной скорости фаз в реакторе.

Таблица 1
Характеристики зернистых материалов

Физические величины и размерности	Материал насыпного слоя		
	Фарфор	Сталь 12X18H10T	
Плотность ρ , кг/м ³	2460	7900	
Форма и размеры частиц, мм	Бусы 3610	Порошок $d=0,5\pm 0,1$	Кольца 110,2
Эквивалентный диаметр частиц d , м	$6,7341 \cdot 10^{-3}$	$0,50410^{-3}$	$9,8641 \cdot 10^{-4}$
Коэффициент формы	0,474	1,0	0,507
Порозность слоя e_0	0,64	0,40	0,42
Удельная поверхность f , м ² /м ³	704	7200	6960
Насыпная плотность, кг/м ³	890	4740	4108
Скорость псевдоожижения слоя $w_{\text{пс}}$, отнесенная к полному сечению реактора, м/с	$71,541 \cdot 10^{-3}$	$3,3410^{-3}$	$16,041 \cdot 10^{-3}$

Таблица 2
Гидравлическое сопротивление насыпного слоя

Скорость в сечении реактора, м/с	Зернистый материал		
	Бусы 3610	Порошок $d = 0,5$	Кольца 110,2
	Потери напора в слое, мм вод. ст.		
$2,4410^{-3}$	1	683	18
$3,2410^{-3}$	2	1014	31
$12,3410^{-3}$	26	1033	461
$18,4410^{-3}$	54	1056	668
$24,6410^{-3}$	94	1088	700

При проведении предварительных исследований в качестве зернистого материала был использован порошок нержавеющей стали 12X18H10T с диаметром сферических гранул от 0,4 до 0,6 мм [12]. При экстрагировании уранилнитрата из азотнокислых растворов 30% раствором трибутилфосфата равновесные концентрации в фазах достигались в слое такого

материала высотой 250 мм при времени контакта фаз 9 с. Хорошее разделение фаз, практически без взаимного их уноса, достигалось при удельной нагрузке на единицу площади отстаивания свыше $60 \text{ м}^3/(\text{м}^2 \cdot \text{ч})$.

Как видно из приведенных данных, наиболее предпочтительными для использования в качестве насыпного слоя являются кольца $1 \times 1 \times 0,2$ из нержавеющей стали 12X18H10T, поскольку они имеют достаточно развитую удельную поверхность ($f=6960 \text{ м}^2/\text{м}^3$), выполнены из материала (нержавеющая сталь), для которого имеются отработанные методики дезактивации, насыпной слой из них обладает небольшим гидравлическим сопротивлением, а скорость псевдооживления слоя ($w_{\text{кр}}=0,016 \text{ м/с}$), при необходимости, допускает возможность проводить его промывку непосредственно в аппарате, при увеличенном по сравнению с рабочими нагрузками, расходе регенерационного раствора и повышенной частоте вращения вала транспортирующего устройства.

На основании результатов проведенных исследований был разработан и изготовлен опытно-промышленный трехступенчатый экстрактор с насыпным слоем зернистого материала, имеющий приведенную ниже техническую характеристику.

Электродвигатели всех ступеней запитаны от электросети через тиристорный преобразователь частоты ЭКТ2Д-25/380, что позво-

ляет изменять частоту их вращения от 180 до 1000 об/мин.

Опоры валов турбинок устройств для транспортировки фаз выполнены в виде подшипников скольжения из силицированного графита со смазкой рабочими растворами.

Экстракторы ПОРЭКС могут быть использованы вместо экстракторов КРАБ для увеличения производительности при размещении аппаратов на тех же производственных площадях в существующих каньонах или, при сохранении производительности, для высвобождения части площади каньонов с целью размещения в них дополнительного технологического оборудования.

Непременным условием применения экстракторов ПОРЭКС является наличие необходимого количества подходящего по своим свойствам зернистого материала, например, колец из стали 12X18H10T с размерами $1 \times 1 \times 0,2 \text{ мм}$.

Применение экстракторов с зернистым материалом ПОРЭКС позволит увеличить производительность экстракционных переделов без увеличения производственных площадей, повысить качество очистки продуктов, а также улучшить санитарные условия труда и экологическую обстановку путем уменьшения потерь органического экстрагента, сокращения расхода регенерационного содового раствора, минимизации объемов поступающих на отверждение отходов.

ТЕХНИЧЕСКАЯ ХАРАКТЕРИСТИКА ЭКСТРАКТОРА ПОРЭКС

Производительность транспортирующего устройства	$1 \text{ м}^3/\text{ч}$
Ширина отстойника по слою жидкости	60 мм
Высота налива в отстойнике	630 мм
Рабочая площадь отстойника	$0,054 \text{ м}^2$
Рабочее давление в отстойнике	налив
Диаметр реактора	120 мм
Вместимость реактора	$5 \cdot 10^{-3} \text{ м}^3$
Количество экстракционных ступеней	3
Рабочая вместимость одной ступени	$50 \cdot 10^{-3} \text{ м}^3$
Масса экстрактора с загрузкой	570 кг
Основной конструкционный материал	сталь 12X18H10T

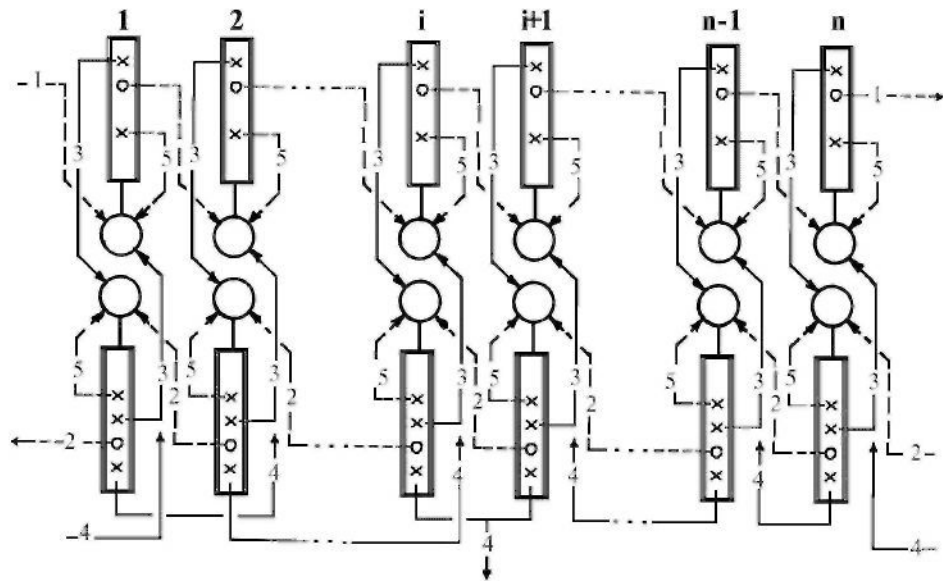


Рис. 11. Схема n-ступенчатого мембранного экстрактора

1...i...n - порядковые номера модулей;

1, 2 - отдающая и принимающая органические фазы соответственно;

3 - циркулирующая в модулях мембранная (водная) фаза;

4 - межконтурный проток мембранной фазы;

5 - циркулирующая в ступенях органическая фаза.

Конструкция экстракторов с механическим перемешиванием фаз позволяет использовать их для аппаратного оформления процесса мембранной экстракции в двухциклической схеме экстракционной очистки урана при переработке ОЯТ [14-16].

Для реализации способа мембранной экстракции применительно к заводу РТ-1 разработан мембранный экстрактор, составленный из отдельных мембранно-экстракционных модулей, каждый из которых состоит из двух экстракционных ступеней, связанных между собой циркуляционным контуром водной фазы-переносчика, играющей роль жидкой подвижной мембраны и поочередно контактирующей с отдающей и принимающей органическими фазами в смесительных камерах ступеней. Отдающей органической фазой является экстракт первого цикла, а принимающей органической фазой - движущийся в аппарате противотоком по отношению к нему оборотный экстрагент

второго цикла. Таким образом, в мембранном экстракторе совмещаются две технологические операции - реэкстракция первого цикла и экстракция второго цикла.

Водная фаза-переносчик, непрерывно циркулируя внутри каждого мембранно-экстракционного модуля и поочередно контактируя с отдающей и принимающей органическими фазами, одновременно выполняет роль реэкстрагента и реэкстракта для реэкстракционных ступеней первого цикла и роль исходного раствора и рафината для экстракционных ступеней второго цикла.

Для предотвращения накопления со временем примесей в циркуляционных контурах модулей предусмотрено постоянное обновление мембранной фазы путем организации ее межконтурного протока. Сходящаяся направленность протока обуславливает его противоток по отношению к обоим органическим фазам и, соответственно, достаточно полное

ТЕХНИЧЕСКАЯ ХАРАКТЕРИСТИКА ОПЫТНОГО МОДУЛЯ

Расчетная производительность смесителя	10 м ³ /ч
Количество экстракционных ступеней	2
Внутренний диаметр смесителя	200 мм
Вместимость смесителя	0,026 м ³
Внутренняя ширина отстойной камеры	140 мм
Вместимость отстойной камеры	0,58 м ³
Площадь отстойной камеры	0,75 м ²
Рабочее давление	налив
Частота вращения вала смесителя	250 об/мин
Основной конструкционный материал	сталь 12Х18Н10Т
Масса модуля	1300кг

освобождение отдающей органической фазы от урана и, одновременно, очистку принимающей органической фазы от примесей. Выведенный из мембранного экстрактора избыток водной фазы подсоединяется к исходному раствору первого экстракционного цикла.

Принципиальная схема мембранного экстрактора [17, 18] с обозначениями технологических потоков приведена на рис. 11.

С целью проверки принятых при проектировании мембранного экстрактора теоретических предпосылок и расчетных зависимостей был разработан опытный мембранно-экстракционный модуль, имеющий приведенную характеристику.

Расчетная производительность модуля по отдающей фазе (экстракту урана первого цикла) 1 м³/ч при отношении расходов отдающей Q₁, принимающей Q₂ и мембранной Q_м фаз

$$Q_1 : Q_2 : Q_m = 1 : 1,3 : 4$$

В отличие от классической двухциклической схемы экстракционной очистки урана при использовании мембранной экстракции отсутствует рафинат второго цикла, являющийся сбросным радиоактивным раствором, объем которого, как правило, примерно в три раза превышает объем рафината первого цикла.

Таким образом, с применением мембранной экстракции за счет ликвидации рафината второго цикла могут быть весьма существенно

сокращены объемы жидких радиоактивных отходов в экстракционной технологии очистки урана, снижены капитальные и эксплуатационные затраты на их переработку и хранение и улучшена экологическая обстановка при сохранении высоких технологических показателей.

Выполняемые работы направлены на решение насущных задач завода и отрасли и имеют практическое значение. Результатами их завершения являются увеличение удельной производительности аппаратов, сокращение единиц оборудования и объемов находящихся в производстве растворов; повышение надежности работы оборудования и максимально возможное устранение нештатных и аварийных ситуаций; сокращение объемов радиоактивных отходов; улучшение радиационной обстановки и условий труда обслуживающего персонала.

ЛИТЕРАТУРА

1. Патент 860819 РФ. В 01Д 27/12. Патронный фильтр /А.М. Нудель, И.М. Балакин, В.С. Герасимов. - Оpubл. БИ №33, 1981.
2. А.с. 659159 СССР. В 01Д 27/10. Распределительное устройство для фильтровальной установки. /А.М. Нудель, А.Г. Тюльпа, В.А. Каверзин, К.А. Долгова, И.М. Балакин. - Оpubл. БИ №16, 1979.
3. А.с. 796521 СССР. Механизм для переда-

- чи вращения в герметизированный объем / В.М. Постовалов, В.Р. Воинков, Е.А. Брыксин/ Оpubл. БИ №2, 1981.
4. Патент 2054300 РФ. В 01Д 37/00, 24/14. Способ очистки жидкостей фильтрованием и устройство для его осуществления / А.М. Нудель, С.Л. Никулин, В.Б. Брагин, Г.И. Перминов, В.П. Уфимцев, Е.Г. Дзекун. - Оpubл. БИ №5, 1996.
5. Патент 1822527 СССР. В 01 Д 24/26. Способ регенерации зернистой загрузки фильтра / А.М. Нудель, С.Л. Никулин. - №4915109/26; Заявл. 28.02.91.
6. А.с. 774421 СССР. В 01 Д 23/12. Модель суспензии, получаемой при растворении отработавших тепловыделяющих элементов водородных энергетических реакторов /К.А. Долгова, Е.И. Рылова. - № 2764538/18-25; Заявл. 03.05.79.
7. Смесительно-отстойный экстрактор: А.с. №950416, СССР.
9. Результаты пуско-наладочных работ и первого периода эксплуатации экстракционных аппаратов типа "Краб": отчет ПО "Маяк", ВНИИНМ, Свердловский ХимМаш, инв. №14221, 1990.
10. Патент №1813480. Совместно-отстойный экстрактор. И.М. Балакин, Е.Г. Дзекун, В.П. Уфимцев, Г.И. Перминов, П.П. Шевцев.
11. Исследования по интенсификации процесса расслаивания эмульсии в экстракторах типа "КРАБ": отчет ПО "Маяк", инв. №4094, 1990.
12. Экстрактор с зернистым материалом: отчет АООТ Свердловский ХимМаш и ПО "Маяк" по теме 0303490, 1993.
13. Экстрактор с зернистым материалом ПО-РЭКС. Стендовые испытания опытно-промышленного аппарата: отчет ЗАО "Свердловский ХимМаш-СКБ" по теме 0352014, 1996.
14. М.А. Афонин, В.В. Королев, Л.Б. Шпунт, В.Н. Романовский, А.И. Карелин, В.А.Белов, В.М.Короткевич, В.И.Волк. Способ экстракционного разделения элементов: заявка №4771235/150338 от 18.12.89, положительное решение ВНИИГПЭ от 28.01.91.
15. В.И. Волк, А.Ю. Вахрушин, Б.С. Захаркин и др. Мембранно-экстракционные процессы: основные особенности и области технологического применения. Тезисы докладов IX Всесоюзной конференции по химии экстракции. Адлер. 1991. С.358.
16. V.I. Volk, B.S. Zakharkin, A.Yu.Vakhrushin et al. Optimization of Purex-process aimed at volume of aqueous Waste from NPP spent fuel reprocessing. Proc.Int.Conf. on Nuclear Waste, Management and Environmental Remediation. Prague, 1993., V.1, P.673-679.
17. И.М. Балакин, А.Н. Рошин, Е.Г. Дзекун, В.И. Волк. Установка для экстракционной переработки урансодержащих растворов ОЯТ: заявка 96110978/25 от 30.05.96, решение ВНИИГПЭ о выдаче патента РФ на изобретение от 15.04.97.
18. И.М. Балакин, А.Н. Рошин, Е.Г. Дзекун, В.И. Волк. Установка для экстракционной переработки урансодержащих растворов ОЯТ: заявка 96111114/25 от 31.05.96, решение ВНИИГПЭ о выдаче патента РФ на изобретение от 15.04.97.